

УДК 631.36-52

UDC 631.36-52

**ЦИФРОВАЯ РЕАЛИЗАЦИЯ СИСТЕМЫ
УПРАВЛЕНИЯ ПРОЦЕССОМ ПОДОГРЕВА
ВОЗДУХА ДЛЯ СУШКИ СЕМЯН**

**DIGITAL IMPLEMENTATION OF THE PRO-
CESS CONTROL SYSTEM HEATING AIR FOR
DRYING SEEDS**

Пугачев Василий Иванович
к.т.н., доцент

Pugachev Vasily Ivanovich
Cand.Tech.Sci., assistant professor

Пиотровский Дмитрий Леонидович
д.т.н., профессор, заведующий кафедрой автоматизи-
зации производственных процессов
ФГБОУ ВПО «Кубанский государственный техно-
логический университет», Краснодар, Россия

Piotrovskiy Dmitriy Leonidovich
Dr.Sci.Tech., professor
*Kuban State Technological University, Krasnodar,
Russia*

В статье рассмотрены вопросы управления про-
цессом подогрева воздуха в шахтной сушилке при
помощи цифрового регулятора

The article considers the issues of digital process of
control of heating air in the dryer shaft

Ключевые слова: ЦИФРОВОЙ РЕГУЛЯТОР, ПЕ-
РЕХОДНЫЕ ФУНКЦИИ, СУШКА ЗЕРНА

Keywords: DIGITAL CONTROLLER, TRANSITION
FUNCTIONS, GRAIN DRYING

Современные системы управления, используемые в пищевой про-
мышленности, отличаются широким спектром средств автоматизации. Это
могут быть промышленные регуляторы, реализующие непрерывный или
цифровой закон управления, микроконтроллеры, управляющие вычисли-
тельные комплексы (УВК) и др.

В тех случаях, когда необходимо реализовать цифровой закон управ-
ления с оптимальными параметрами регулятора, обеспечивающими удо-
влетворительную динамику переходных процессов при различных нагруз-
ках [1], можно воспользоваться результатами исследований, приведенных
ниже.

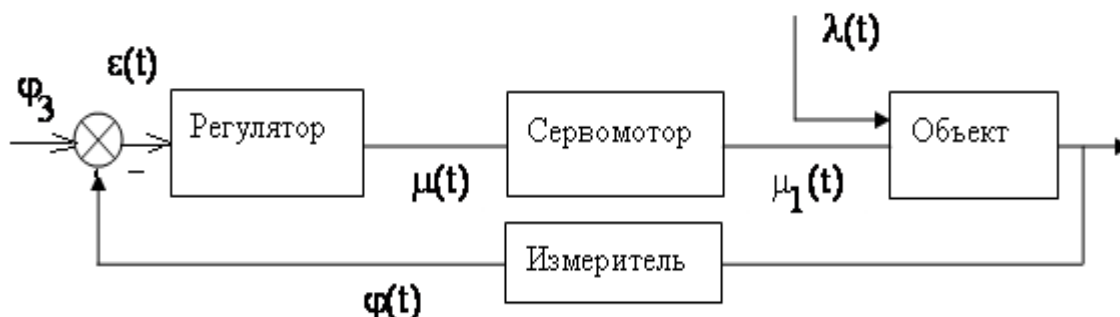


Рисунок 1 – Структурная схема системы управления

Передаточная функция объекта, сервомотора и измерителя имеют вид:

$$W_{omin}(p) = \frac{48 \cdot p + 4.8}{2 \cdot p^2 + 11.2 \cdot p + 1}, \quad W_c(p) = \frac{1}{10 \cdot p}, \quad W_{iz}(p) = \frac{1}{20 \cdot p + 1}.$$

Используя методику расчета систем управления с сервомотором постоянной скорости [2], эквивалентная передаточная функция объекта принимает вид:

$$W_{o1}(p) = W_{omin}(p) \cdot W_{iz}(p) \cdot W_c(p).$$

$$W_{o1}(p) = \frac{4.800 \cdot p + .4800}{40 \cdot p^4 + 226 \cdot p^3 + 31.20 \cdot p^2 + 1 \cdot p}$$

Оптимальные параметры цифрового фильтра, реализующего ПД – закон управления [1]:

$$W_r(p) = 1 + 50 \cdot p.$$

Для реализации цифрового закона управления необходимо знать период квантования измеряемой непрерывной регулируемой величины, при котором не будет потери информации. Этот вопрос можно решить с помощью теоремы В.А. Котельникова [3]. Для этого найдем частоту среза замкнутой непрерывной системы с оптимальными параметрами по каналу: задание – регулируемая величина.

$$W_{z1}(p) = \frac{W_{o1}(p) \cdot W_r(p)}{1 + W_{o1}(p) \cdot W_r(p)}.$$

$$W_{z1}(p) = \frac{28.8 \cdot p + 240 \cdot p^2 + .480}{40 \cdot p^4 + 226 \cdot p^3 + 271 \cdot p^2 + 29.8 \cdot p + .480}.$$

Переходную функцию непрерывной САУ при минимальной нагрузке находим как:

$$Hn1(t) = \text{invlaplace} \left\{ \frac{Wz1(p)}{p} \right\},$$

$$Hn1(t) = 1. + .604 \cdot e^{(-4.00)t} - 1.59 \cdot e^{(-1.53)t} + .713e-2 \cdot e^{(-.101)t} - .247e-1 \cdot e^{(-.195e-1)t}$$

Заменяв в передаточной функции $p=iw$, находим амплитудно-фазовую характеристику (АФХ):

$$Wz1(i, w) = \frac{28.8 \cdot i \cdot w + 240 \cdot i^2 \cdot w^2 + .480}{40 \cdot i^4 \cdot w^4 + 226 \cdot i^3 \cdot w^3 + 271 \cdot i^2 \cdot w^2 + 29.8 \cdot i \cdot w + .480}$$

Модуль АФХ определим так:

$$M1(w) = \sqrt{\text{Re}(Wz1(i, w))^2 + \text{Im}(Wz1(i, w))^2}$$

Приняв за частоту среза системы частоту, при которой сигнал на выходе равен 3 процента от гармонического сигнала на ее входе, фильтрующие свойства замкнутой системы по каналу задание - регулируемая величина можно определить так:

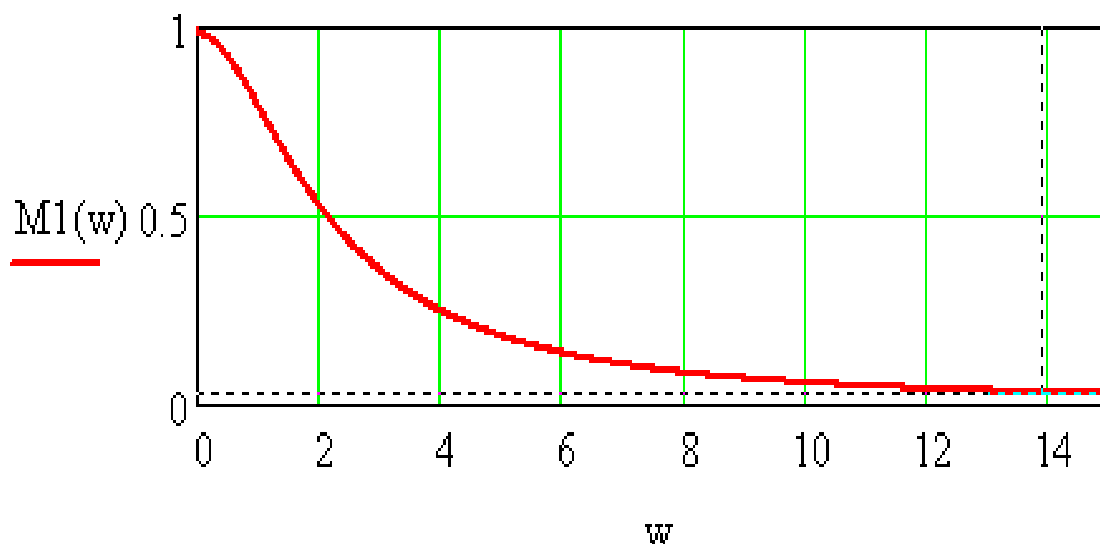


Рисунок 2 – Амплитудно-частотная характеристика замкнутой САУ по каналу задание – регулируемая величина

Сигнал на выходе системы составляет 3 процента от входного при частоте $\omega_c = 14$ рад/с.. При этом в соответствии с теоремой В. А. Котельникова период квантования не должен быть больше 0,224 с.

$$\omega_c = 14, \quad T_{01} = \frac{\pi}{\omega_c}, \quad T_{01} = 0.224.$$

Проверим период квантования для канала возмущение - регулируемая величина. Для этого найдем АЧХ замкнутой САУ по этому каналу.

$$W_r(p) \rightarrow 1 + 50 \cdot p, \quad W_o\lambda(p) = W_{omin}(p) \cdot W_{iz}(p),$$

$$W_o\lambda(p) = \frac{48 \cdot p + 4.80}{40 \cdot p^3 + 226 \cdot p^2 + 31.2 \cdot p + 1.}$$

$$W_{z1\lambda}(p) = \frac{W_o\lambda(p)}{1 + W_{o1}(p) \cdot W_r(p)}.$$

$$W_{z1\lambda}(p) = \frac{1920 \cdot p^2 + 192 \cdot p}{1600 \cdot p^4 + 9040 \cdot p^3 + 1085e5 \cdot p^2 + 2920 \cdot p + 192.}$$

$$W_{z1\lambda}(i, w) = \frac{1920 \cdot i^2 \cdot w^2 + 192 \cdot i \cdot w}{1600 \cdot i^4 \cdot w^4 + 9040 \cdot i^3 \cdot w^3 + 1085e5 \cdot i^2 \cdot w^2 + 2920 \cdot i \cdot w + 192.}$$

$$M_2(w) = \sqrt{\text{Re}(W_{z1\lambda}(i, w))^2 + \text{Im}(W_{z1\lambda}(i, w))^2}.$$

Фильтрующие свойства замкнутой системы по каналу возмущение - регулируемая величина

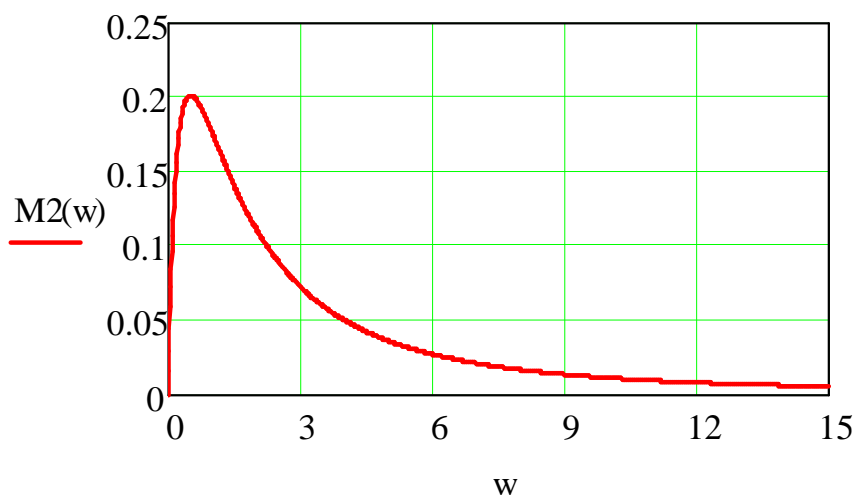


Рисунок 3 – Амплитудно-частотная характеристика замкнутой САУ по каналу возмущение – регулируемая величина

Как следует из графика, частота среза меньше полученной ранее (14 рад/с), поэтому не смысла рассчитывать период квантования.

Фильтрующие свойства замкнутой системы по каналу задание - регулируемая величина при максимальной нагрузке

$$W_{omax}(p) = \frac{12 \cdot p + 1.2}{2 \cdot p^2 + 11.2 \cdot p + 1}, \quad W_{c}(p) = \frac{1}{10 \cdot p}, \quad W_{iz}(p) = \frac{1}{20 \cdot p + 1}.$$

$$W_{o2}(p) = W_{omax}(p) \cdot W_{iz}(p) \cdot W_{c}(p),$$

$$W_{o2}(p) = \frac{1.200 \cdot p + .1200}{40 \cdot p^4 + 226 \cdot p^3 + 31.20 \cdot p^2 + 1 \cdot p}.$$

$$W_{z1}(p) = \frac{W_{o2}(p) \cdot W_r(p)}{1 + W_{o2}(p) \cdot W_r(p)}.$$

$$W_{z2}(p) = \frac{7.20 \cdot p + 60 \cdot p^2 + .120}{40 \cdot p^4 + 226 \cdot p^3 + 91.2 \cdot p^2 + 8.20 \cdot p + .120}.$$

Переходную функцию непрерывной САУ при максимальной нагрузке находим как:

$$Hn2(t) = \text{invlaplace}\left\{ \frac{Wz2(p)}{p} \right\},$$

$$Hn2(t) = 1 + .585e^{-1} \cdot e^{(-5.22)t} - .998 \cdot e^{(-.308)t} + .389e^{-1} \cdot e^{(-.103)t} - .994e^{-1} \cdot e^{(-.181e-1)t}$$

$$Wz2(i, w) = \frac{7.20 \cdot i \cdot w + 60 \cdot i^2 \cdot w^2 + .120}{40 \cdot i^4 \cdot w^4 + 226 \cdot i^3 \cdot w^3 + 91.2 \cdot i^2 \cdot w^2 + 8.20 \cdot i \cdot w + .120}$$

$$M3(w) = \sqrt{\text{Re}(Wz2(i, w))^2 + \text{Im}(Wz2(i, w))^2}$$

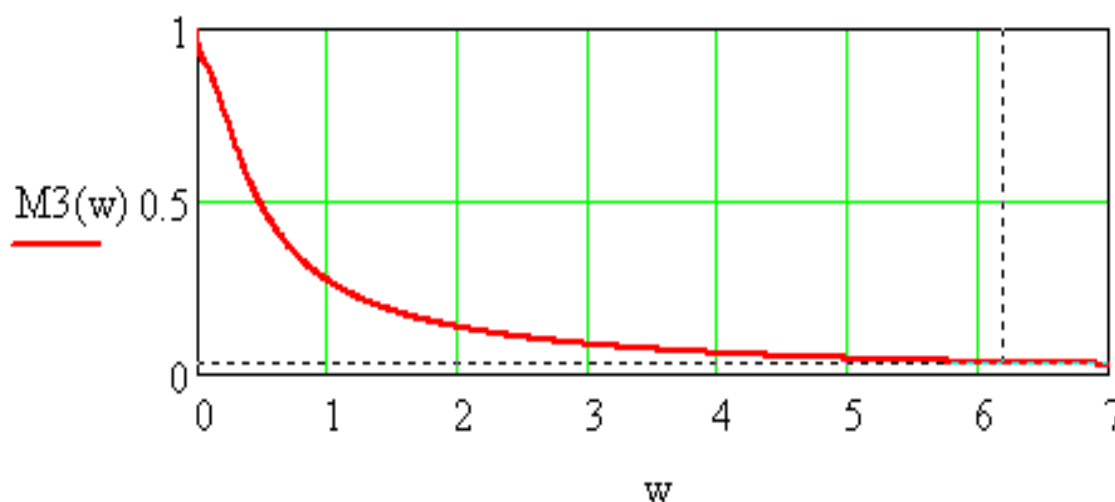


Рисунок 4 – АЧХ замкнутой системы по каналу задание - регулируемая величина при максимальной нагрузке

$$Wc = 6.2, \quad Tol = \frac{\pi}{Wc}, \quad Tol = .506$$

Примем период квантования $T = 0,2$ с.

Проанализировать работу цифровой САУ можно по виду переходных функций замкнутой системы с оптимальными параметрами при различных нагрузках. Поскольку регулятор цифровой (дискретный), то для

возможности совместного исследования объект также следует представить в виде дискретной передаточной функции.

Рассмотрим случай минимальной нагрузки объекта.

$$H_{o1}(p) = \frac{W_{o1}(p)}{p}, \quad \underline{H_{o1}(p)} = \frac{4.8000 \cdot p + .48000}{40 \cdot p^5 + 226 \cdot p^4 + 31.200 \cdot p^3 + 1 \cdot p^2}.$$

$$H_{o1}(t) = .480 \cdot t - 10.2 + 10.8 \cdot e^{(-.500e-1)t} - .611 \cdot e^{(-2.80)t} \cdot \cosh(2.71 \cdot t) - .609 \cdot e^{(-2.80)t} \cdot \sinh(2.71 \cdot t).$$

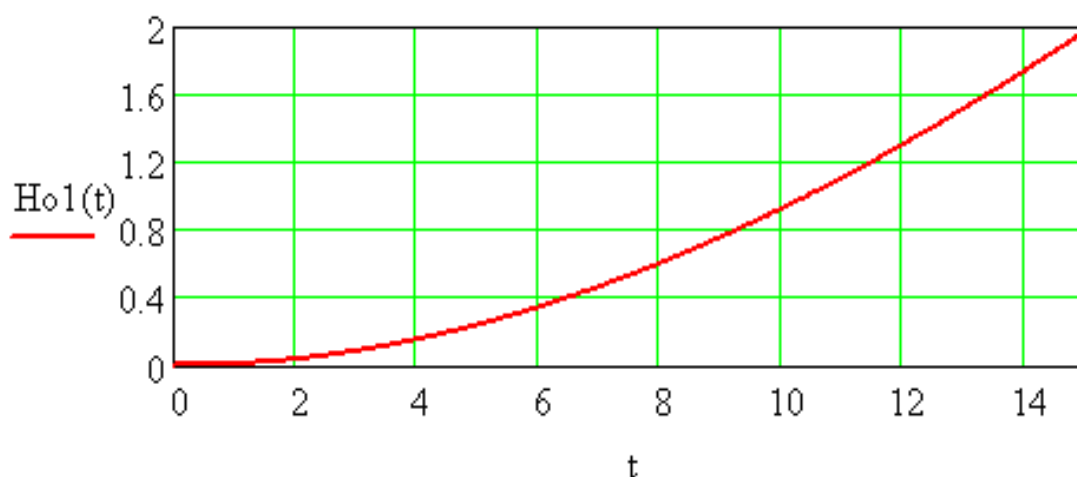


Рисунок 5 – Вид переходной функции эквивалентного объекта при минимальной нагрузке.

Решетчатая переходная функция.

$$H_{o1}(n, T) = .480 \cdot n \cdot T - 10.2 + 10.8 \cdot e^{(-.500e-1)nT} - .611 \cdot e^{(-2.80)nT} \cdot \cosh(2.71 \cdot n \cdot T) - .609 \cdot e^{(-2.80)nT} \cdot \sinh(2.71 \cdot n \cdot T).$$

Применив прямое дискретное Z – преобразование с учетом фиксатора нулевого порядка, получаем:

$$T_s = 0.2$$

$$H(z) = \frac{(-.1458e-2) \cdot z^4 + .2142e-2 \cdot z^3 - .1232e-2 \cdot z^2 + .8387e-4 \cdot z + .4794e-3 \cdot z^5}{z^5 - 4.297 \cdot z^4 + 7.226 \cdot z^3 - 5.871 \cdot z^2 + 2.271 \cdot z - .3226}$$

$$W_{o1}(z) = H(z, T_s) \cdot (1 - z^{-1})$$

Дискретная передаточная функция приведенной непрерывной части равна

$$W_{o1}(z) = \frac{0.000124 \cdot z^3 + 0.000263 \cdot z^2 - 0.000305 \cdot z - 0.00007}{z^4 - 3.304319 \cdot z^3 + 3.93179 \cdot z^2 - 1.950505 \cdot z + 0.323034}$$

Уравнение непрерывного ПД – закона управления:

$$\mu(t) = K_p \cdot \varepsilon(t) + T_d \cdot \left(\frac{d}{dt} \varepsilon(t) \right)$$

где: $\mu(t)$ - сигнал на выходе регулятора, $\varepsilon(t)$ - ошибка управления.

Уравнение ПД – закона управления в конечных разностях:

$$\mu(n) = K_p \cdot \varepsilon(n) + \frac{T_d \cdot (\varepsilon(n) - \varepsilon(n - 1))}{T}$$

Применив прямое Z преобразование, получаем:

$$\mu(z) := K_p \cdot \varepsilon(z) + \frac{T_d}{T} \cdot (\varepsilon(z) - z^{-1} \cdot \varepsilon(z))$$

Дискретная передаточная функция регулятора:

$$W_r(z) = \frac{\mu(z)}{\varepsilon(z)} \quad W_r(z) = K_p + \frac{T_d}{T} - \frac{T_d}{T} \cdot z^{-1}$$

$$K_p = 1, \quad T_d = 50, \quad W_r(z) = 251.0 - \frac{250.0}{z}$$

Передаточная функция замкнутой цифровой системы по каналу задание – регулируемая величина:

$$W_{z1}(z) = \frac{W_{o1}(z) \cdot W_r(z)}{1 + W_{o1}(z) \cdot W_r(z)}$$

$$W_{z1}(z) = \frac{.3112e-1 \cdot z^4 + .3501e-1 \cdot z^3 - .1423 \cdot z^2 + .5868e-1 \cdot z + .1750e-1}{z^5 - 3.273 \cdot z^4 + 3.967 \cdot z^3 - 2.093 \cdot z^2 + .3817 \cdot z + .1750e-1}$$

$$\lim_{z \rightarrow 1} W_{z1}(z) \text{ float,3} \rightarrow 1.$$

Проверка правильности расчетов показывает, что они верны. Замкнутая система астатическая, поэтому предел передаточной функции замкнутой САУ равен единице.

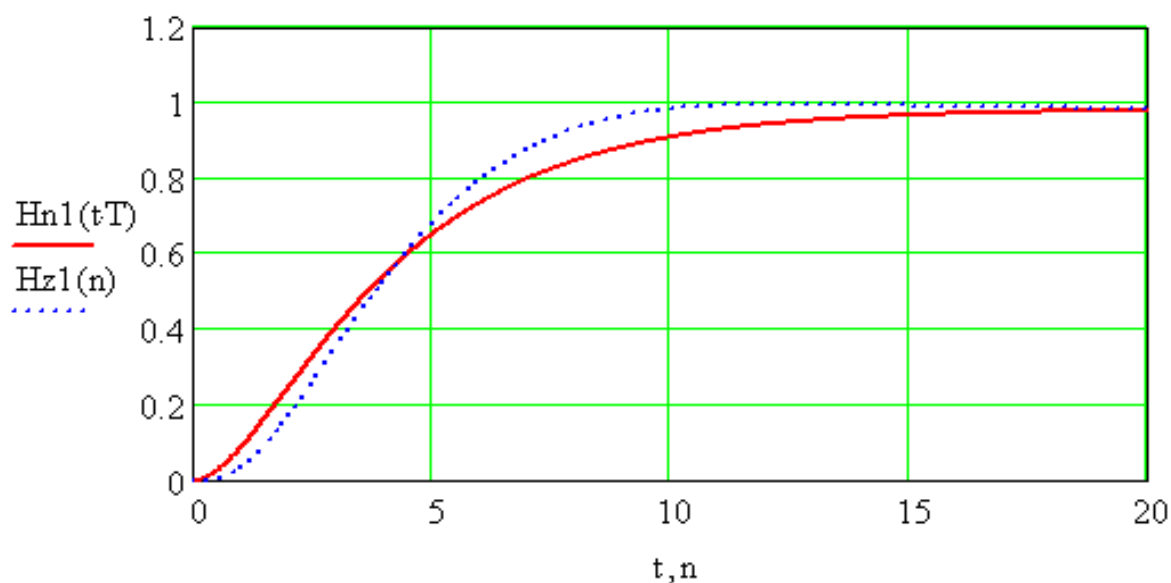


Рисунок 6 – Сравнительные графики переходных функций замкнутых непрерывной $H_{n1}(t)$ и цифровой $H_{z1}(n)$ систем при минимальной нагрузке.

Найдем дискретную передаточную функцию приведенной непрерывной части для случая максимальной нагрузки объекта.

$$W_{o2}(p) = \frac{1.200 \cdot p + .1200}{40 \cdot p^4 + 226 \cdot p^3 + 31.20 \cdot p^2 + 1 \cdot p}$$

Оптимальные параметры цифрового фильтра:

$$W_r(p) = 1 + 50 \cdot p$$

Изображение переходной функции для случая максимальной нагрузки объекта.

$$H_{o2}(p) = \frac{W_{o2}(p)}{p}, \quad H_{o2}(p) = \frac{1.2000 \cdot p + .12000}{40 \cdot p^5 + 226 \cdot p^4 + 31.200 \cdot p^3 + 1 \cdot p^2}$$

Используя обратное преобразование Лапласа, находим выражение оригинала переходной функции.

$$H_{o2}(t) = .120 \cdot t - 2.54 + 2.70 \cdot e^{(-.500e-1)t} - .153 \cdot e^{(-2.80)t} \cdot \cosh(2.71 \cdot t) - .152 \cdot e^{(-2.80)t} \cdot \sinh(2.71 \cdot t)$$

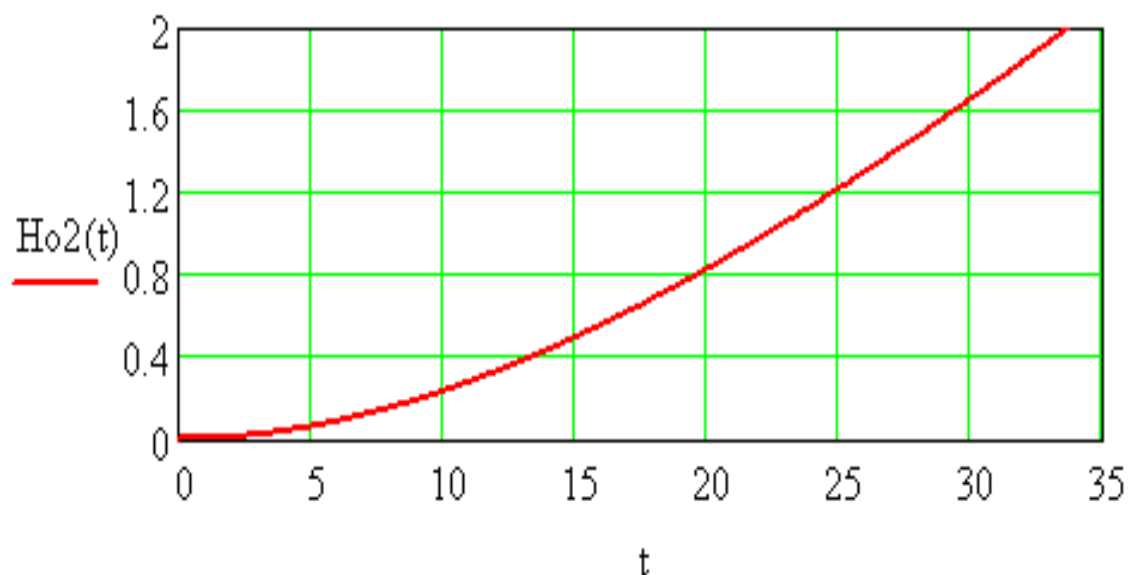


Рисунок 7 – Вид переходной функции приведенной непрерывной части при максимальной нагрузке

Методика получения дискретной передаточной функции объекта при максимальной нагрузке аналогична предыдущему.

$$H_o2(n, T) = .120 \cdot n \cdot T - 2.54 + 2.70 \cdot e^{(-.500e-1) \cdot nT} - .153 \cdot e^{(-2.80) \cdot nT} \cdot \cosh(2.71 \cdot n \cdot T) - .152 \cdot e^{(-2.80) \cdot nT} \cdot \sinh(2.71 \cdot n \cdot T)$$

$$T_s = 0.2$$

$$H(z) = \frac{(-.1458e-2) \cdot z^4 + .2142e-2 \cdot z^3 - .1232e-2 \cdot z^2 + .8387e-4 \cdot z + .4794e-3 \cdot z^5}{z^5 - 4.297 \cdot z^4 + 7.226 \cdot z^3 - 5.871 \cdot z^2 + 2.271 \cdot z - .3226}$$

$$W_o2(z) = H(z, T) \cdot (1 - z^{-1})$$

$$W_o2(z) = \frac{0.000031 \cdot z^3 + 0.000066 \cdot z^2 - 0.000076 \cdot z - 0.000017}{z^4 - 3.304319 \cdot z^3 + 3.93179 \cdot z^2 - 1.950505 \cdot z + 0.323034}$$

$$W_r(z) = 251.0 - \frac{250.0}{z}$$

$$W_z2(z) = \frac{W_o2(z) \cdot W_r(z)}{1 + W_o2(z) \cdot W_r(z)}$$

$$W_z(z) = \frac{.7781e-2 \cdot z^4 + .8816e-2 \cdot z^3 - .3558e-1 \cdot z^2 + .1473e-1 \cdot z + .4250e-2}{z^5 - 3.297 \cdot z^4 + 3.941 \cdot z^3 - 1.986 \cdot z^2 + .3378 \cdot z + .4250e-2}$$

$$\lim_{z \rightarrow 1} W_z2(z) \text{ float,3} \rightarrow 1 \cdot H_z2(z) = W_z2(z) \cdot \frac{z}{z-1}$$

$$H_z2(z) = \frac{.7781e-2 \cdot z^5 + .8816e-2 \cdot z^4 - .3558e-1 \cdot z^3 + .1473e-1 \cdot z^2 + .4250e-2 \cdot z}{z^6 - 4.297 \cdot z^5 + 7.237 \cdot z^4 - 5.927 \cdot z^3 + 2.324 \cdot z^2 - .3335 \cdot z - .4250e-2}$$

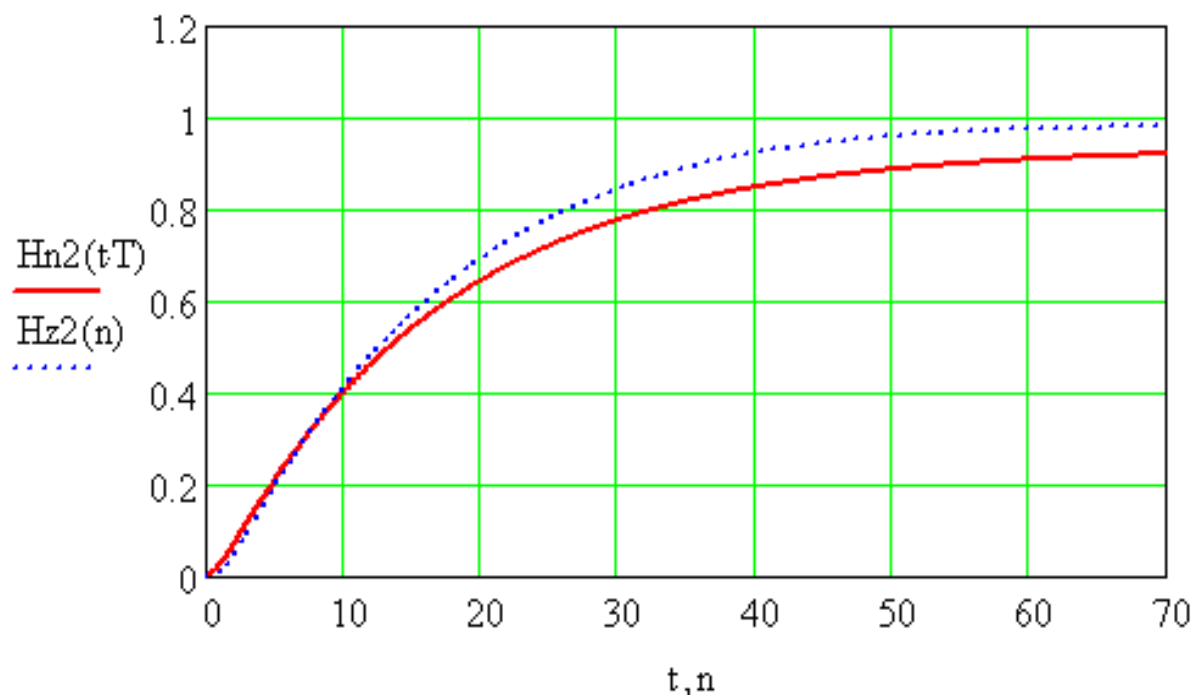


Рисунок 8 – Сравнительные графики переходных функций замкнутых непрерывной $H_{n2}(t)$ и цифровой $H_{z2}(n)$ систем при максимальной нагрузке.

Выводы

1. Исследование фильтрующих свойств непрерывной системы управления с оптимальными параметрами при различных нагрузках позволили найти период квантования непрерывной регулируемой величины, обеспечивающей отсутствие потери информации при ее дискретном измерении.

2. При получении дискретной передаточной функции ее коэффициенты зависят от периода квантования. Чем меньше период квантования, тем больше знаков следует брать при их вычислении. Нам пришлось брать шесть знаков после запятой, поскольку первые четыре – нули.

3. Приведенные в [1] переходные функции замкнутой непрерывной системы с оптимальными параметрами практически не отличаются от полученных для дискретной цифровой системы с теми же параметрами в данной работе, что позволяет быть уверенным в правильности расчетов и

использовать их для практической реализации.

Литература

1. Пугачев В. И. Метод расчета и оптимизации параметров системы управления с сервомотором постоянной скорости. Журнал научных публикаций аспирантов и докторантов № 5, Курск, май 2010 г.
2. Пугачев В. И. Теория автоматического управления (использование Mathcad при анализе и синтезе систем управления): учеб. пособие /Кубан. гос. технол. у-нт. – Краснодар: Изд. КубГТУ, 2006. – 140 с.
3. Пугачев В.И. Теория автоматического управления: учеб. пособие /Кубан. гос. технол. у-нт; Краснодар, 2005. – Раздел «Цифровые системы управления». – 100 с..

References

1. Pugachev V. I. Metod rascheta i optimizacii parametrov sistemy upravlenija s servomotorom postojannoju skorosti. Zhurnal nauchnyh publi-kacij aspirantov i doktorantov № 5, Kursk, maj 2010 g.
2. Pugachev V. I. Teorija avtomaticheskogo upravlenija (ispol'zovanie Mathcad pri analize i sinteze sistem upravlenija): ucheb. posobie /Kuban. gos. tehnol. u-nt. – Krasnodar: Izd. KubGTU, 2006. – 140 s.
3. Pugachev V.I. Teorija avtomaticheskogo upravlenija: ucheb. posobie /Kuban. gos. tehnol. u-nt; Krasnodar, 2005. – Razdel «Cifrovye sistemy upravlenija». – 100 s..